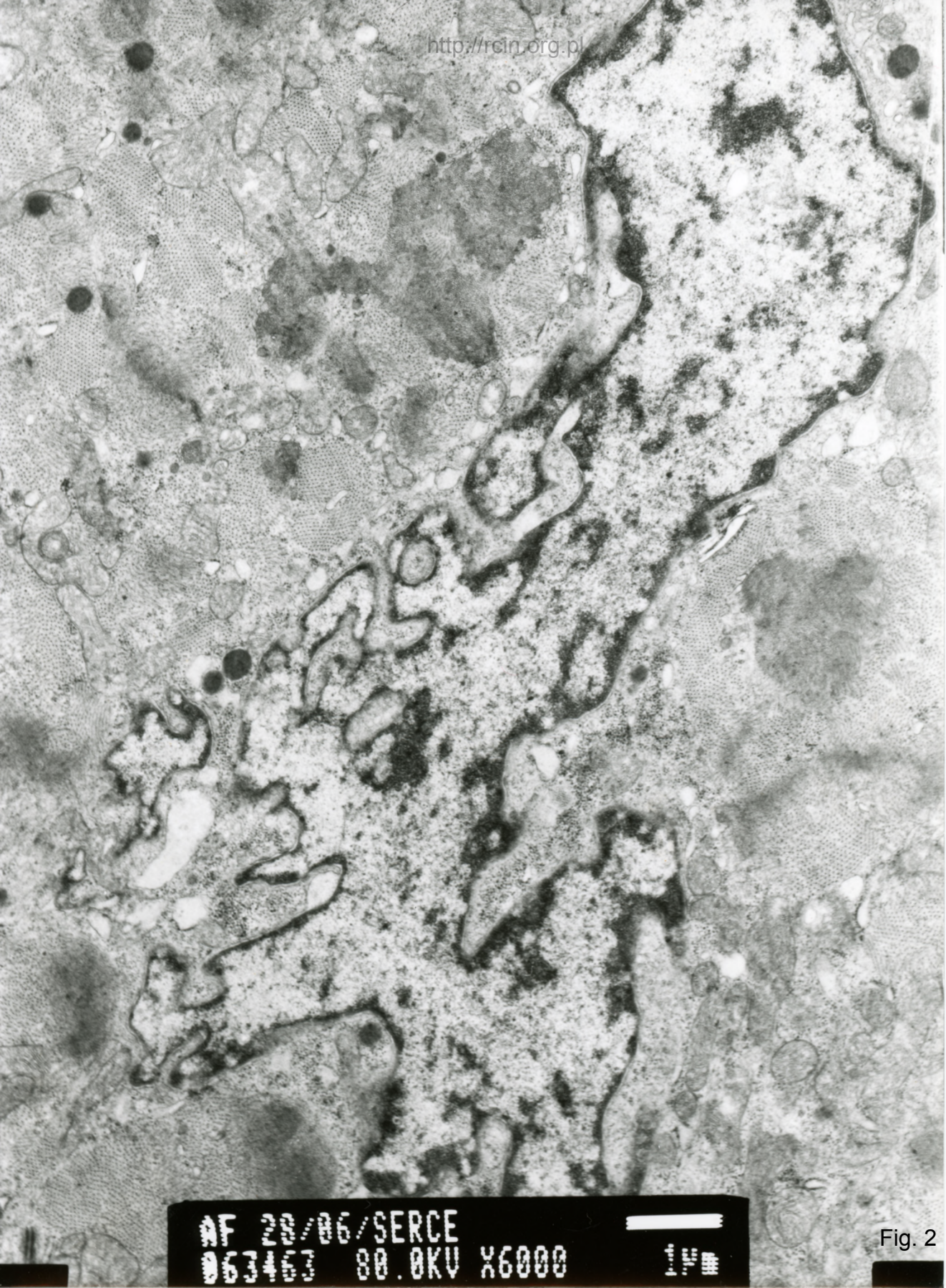


AF 20/06/
073061 80.0KV X4000 24

Fig. 1



AF 20/06/SERCE
063463 80.0KV X6000

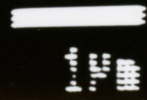
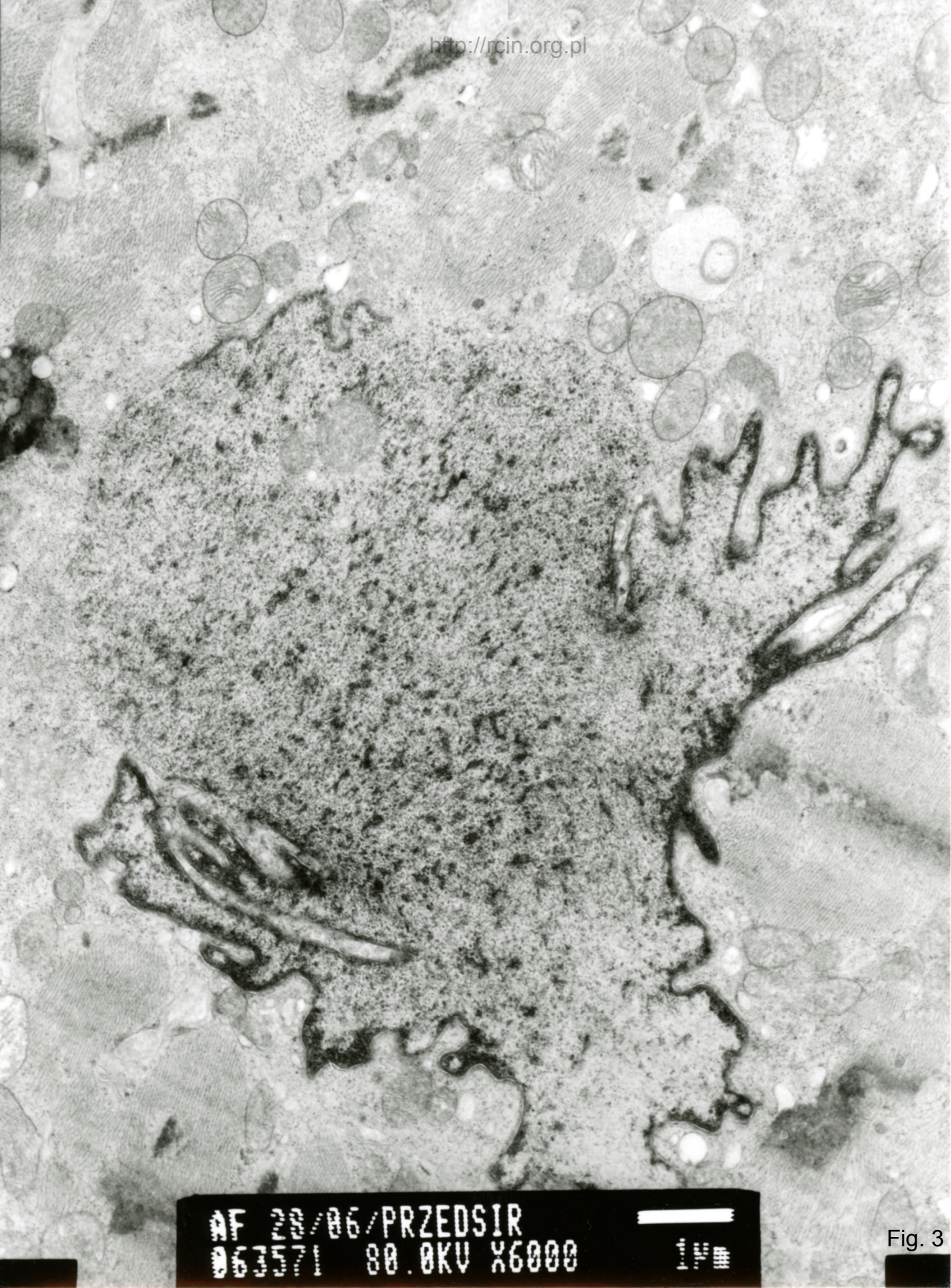


Fig. 2

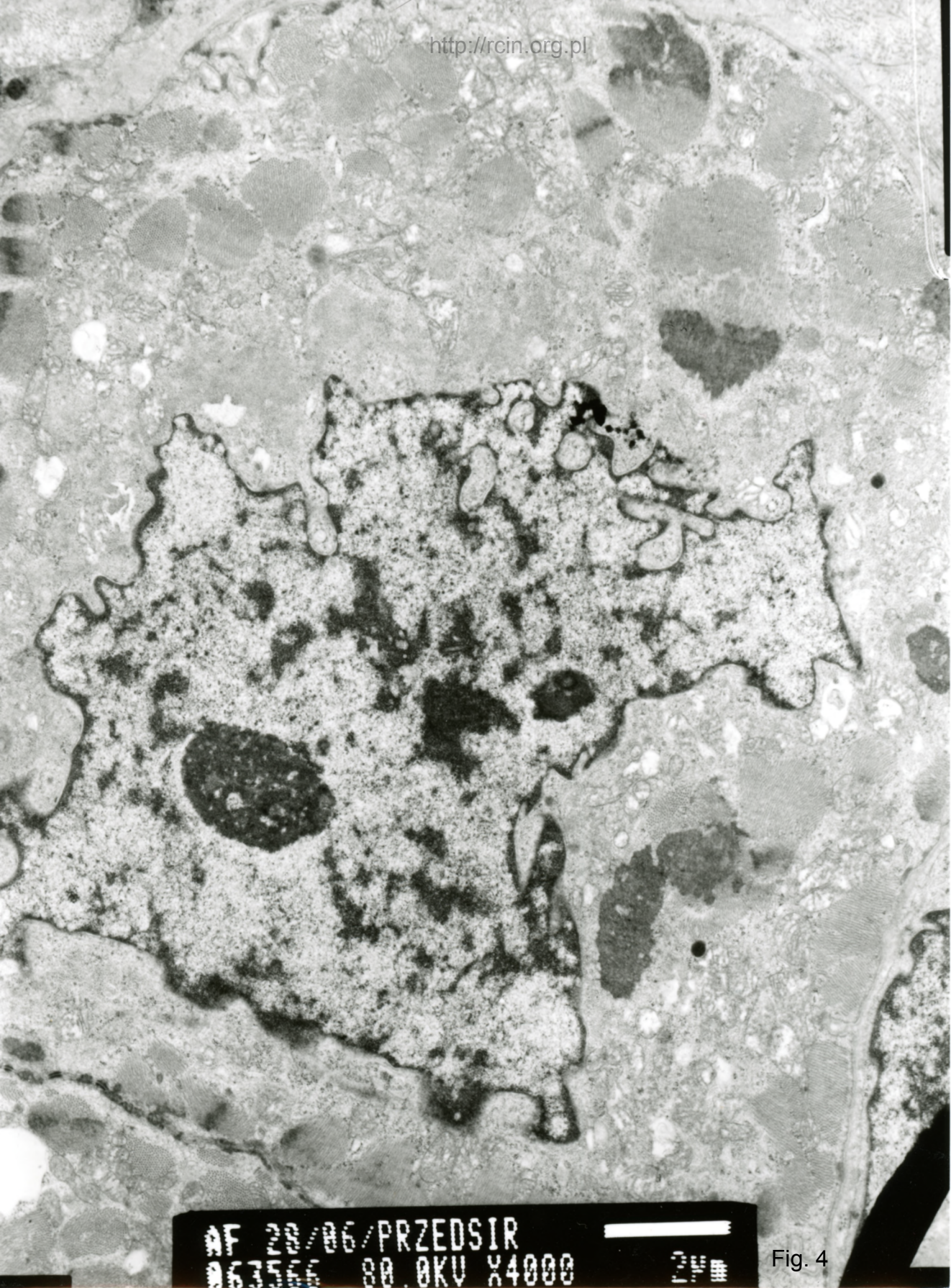


AF 28/06/PRZEDSIR
063571 80.0KV X6000



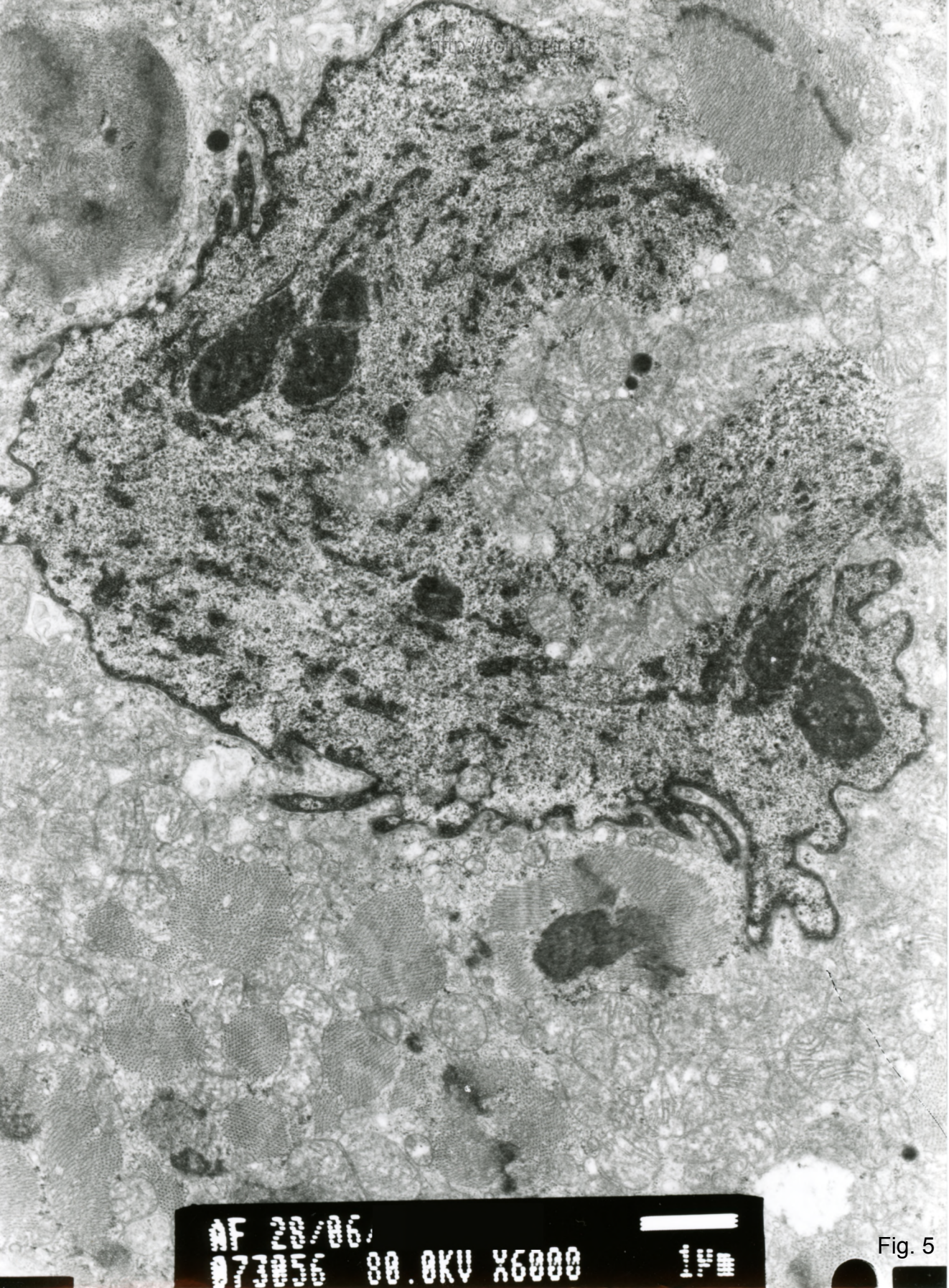
1µm

Fig. 3



AF 28/06/PRZEDSIR
063566 80.0KV X4000 24

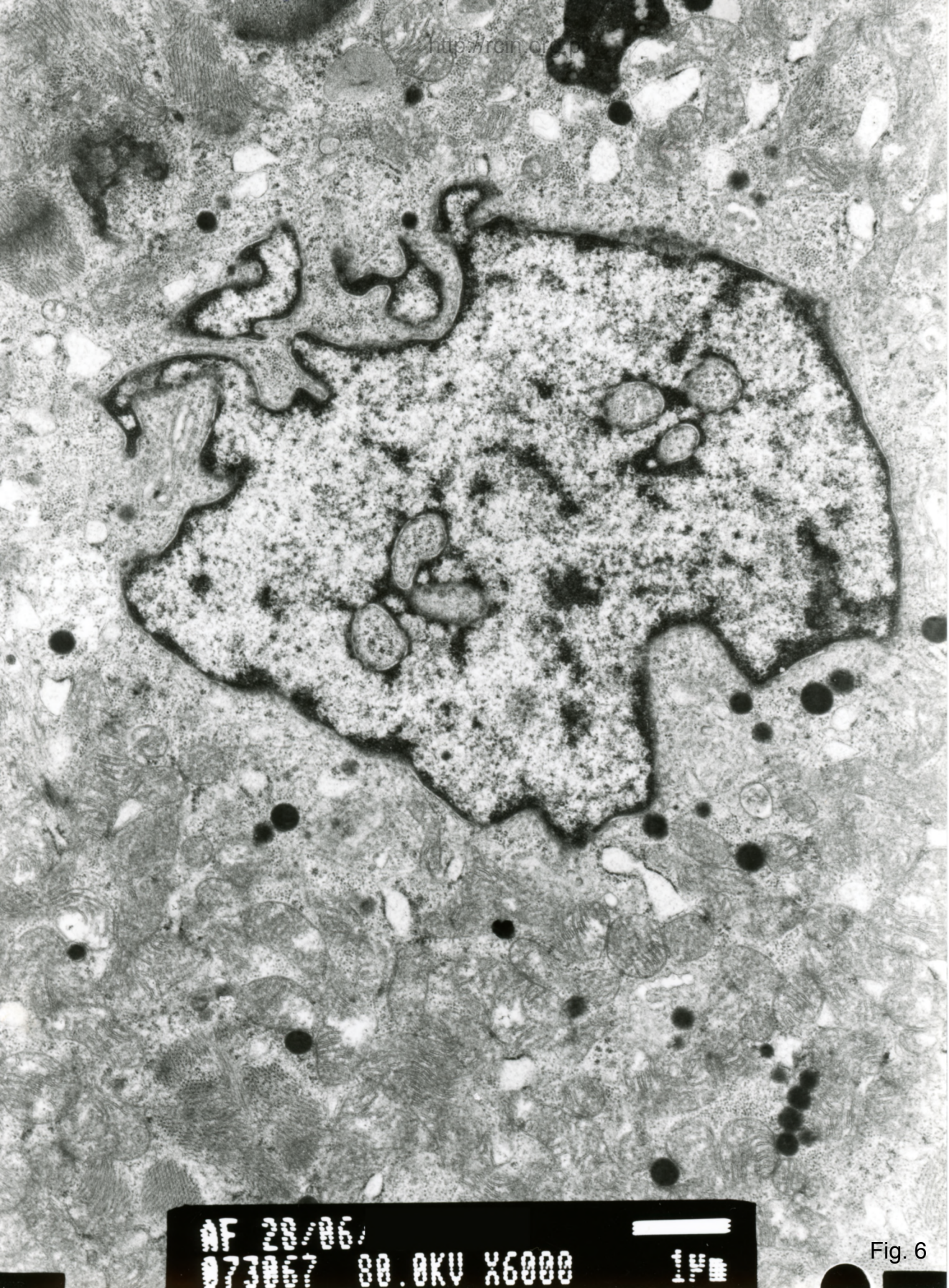
Fig. 4



<http://www.ncbi.nlm.nih.gov/pmc>

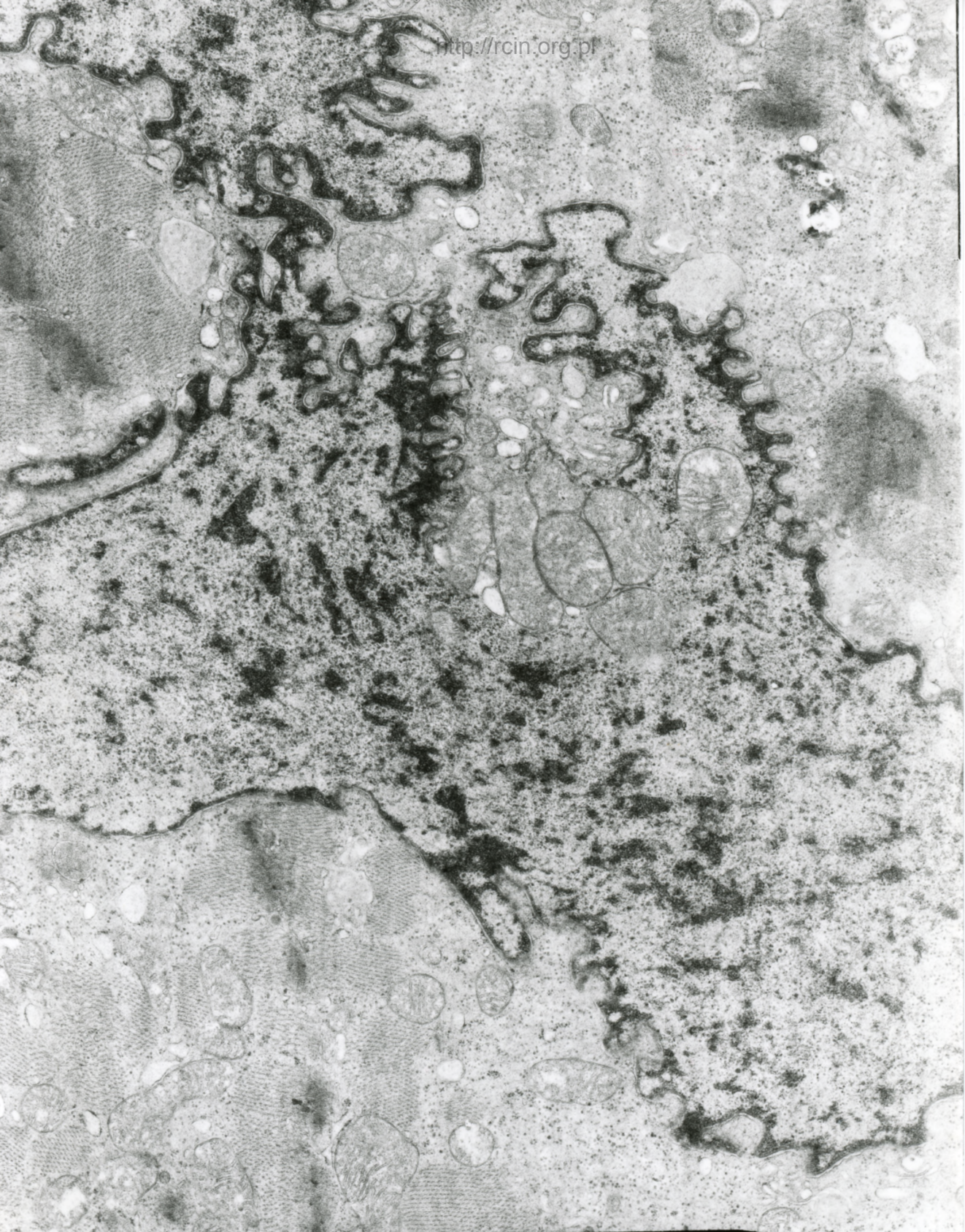
AF 28/06,
073056 80.0KV X6000 1µm

Fig. 5



AF 20/06/
073067 80.0KV X6000 1µm

Fig. 6



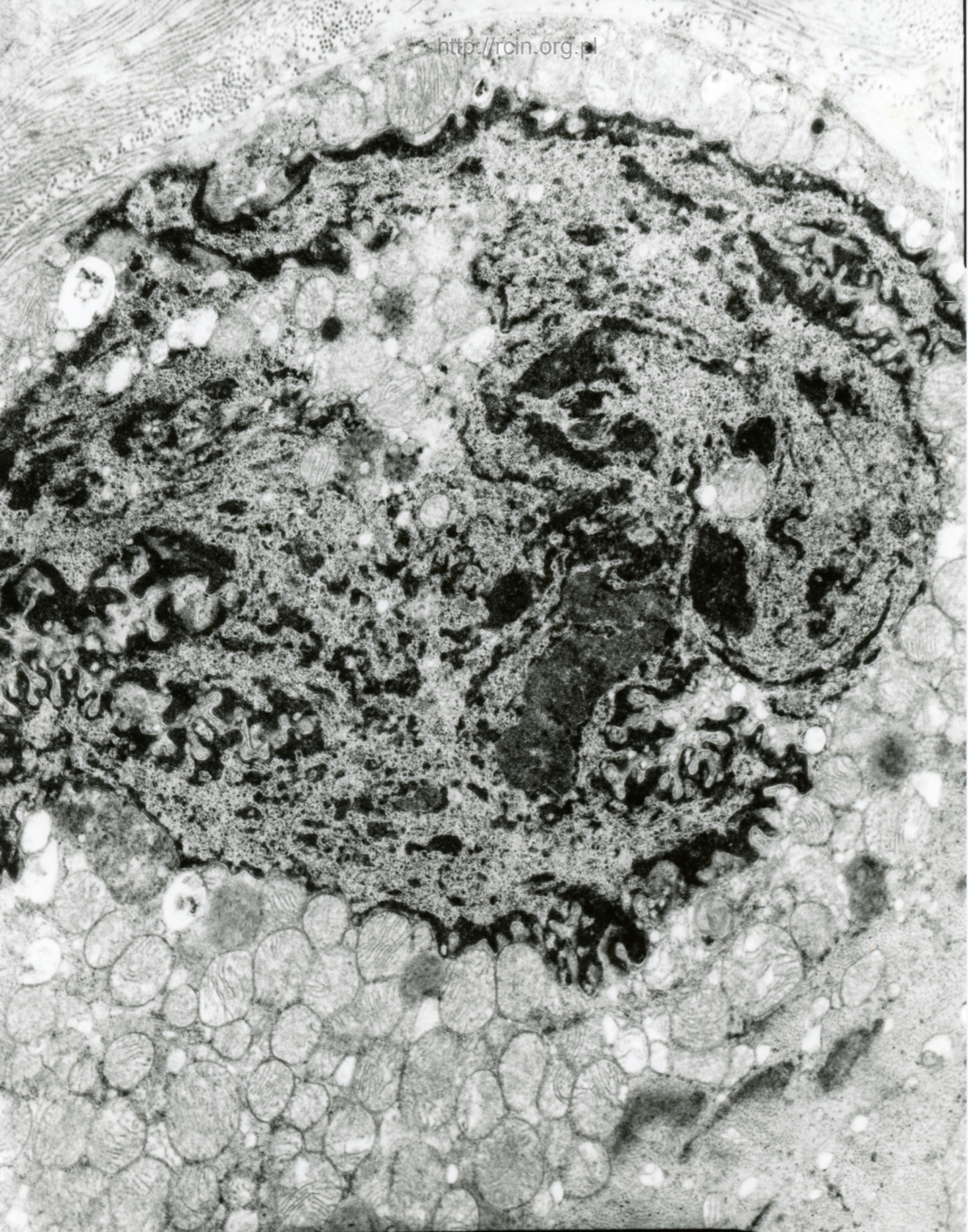
AF 28/06/
077050 80 AKU X6000

Fig. 7



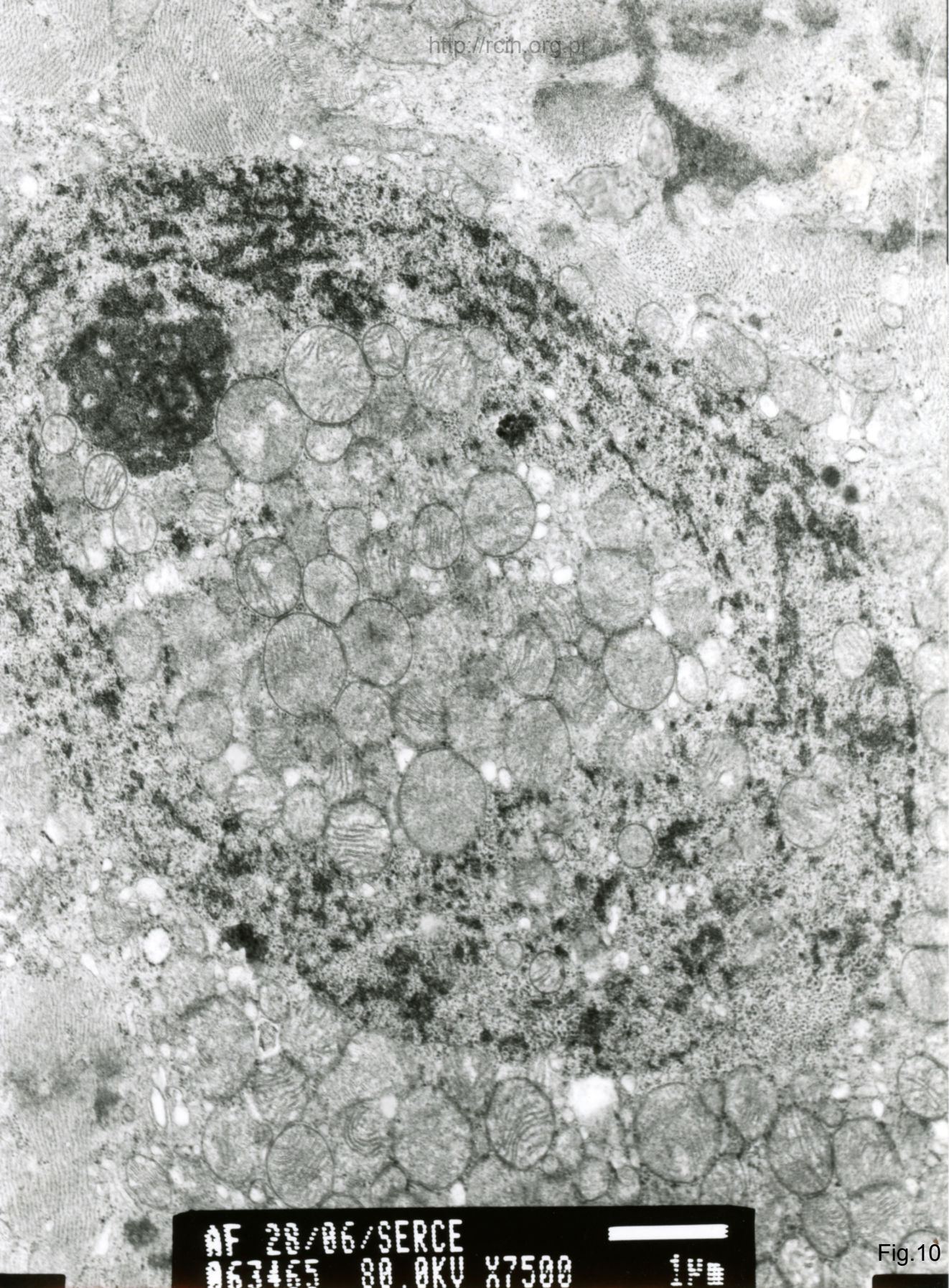
AF 28/06/
073064 80.0KV X6000 1µm

Fig. 8



AF 20/06/PRZEDSIR
063575 80 0KV X6000 14

Fig. 9



AF 20/06/SERCE
063465 80.0KV X7500

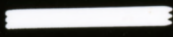
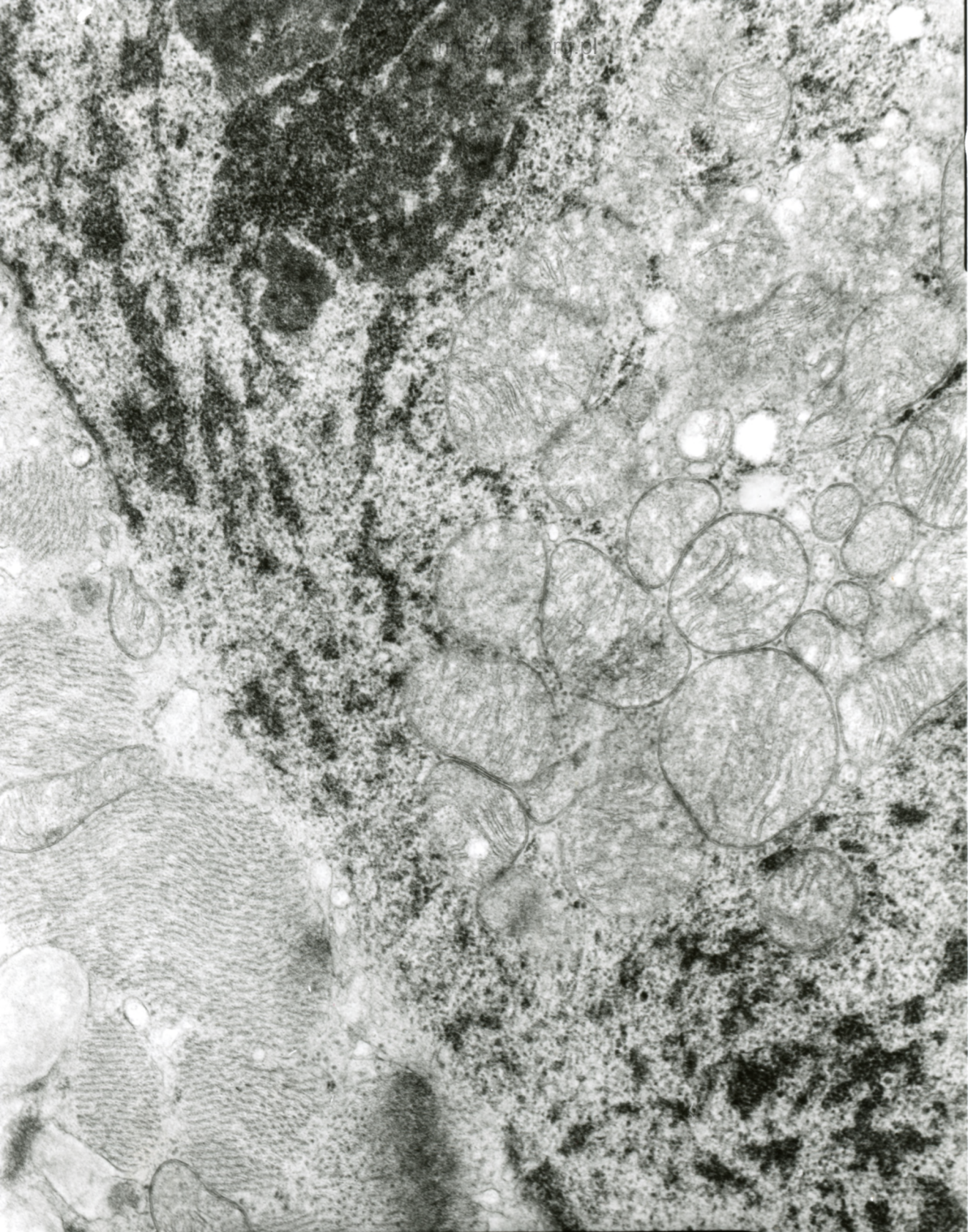
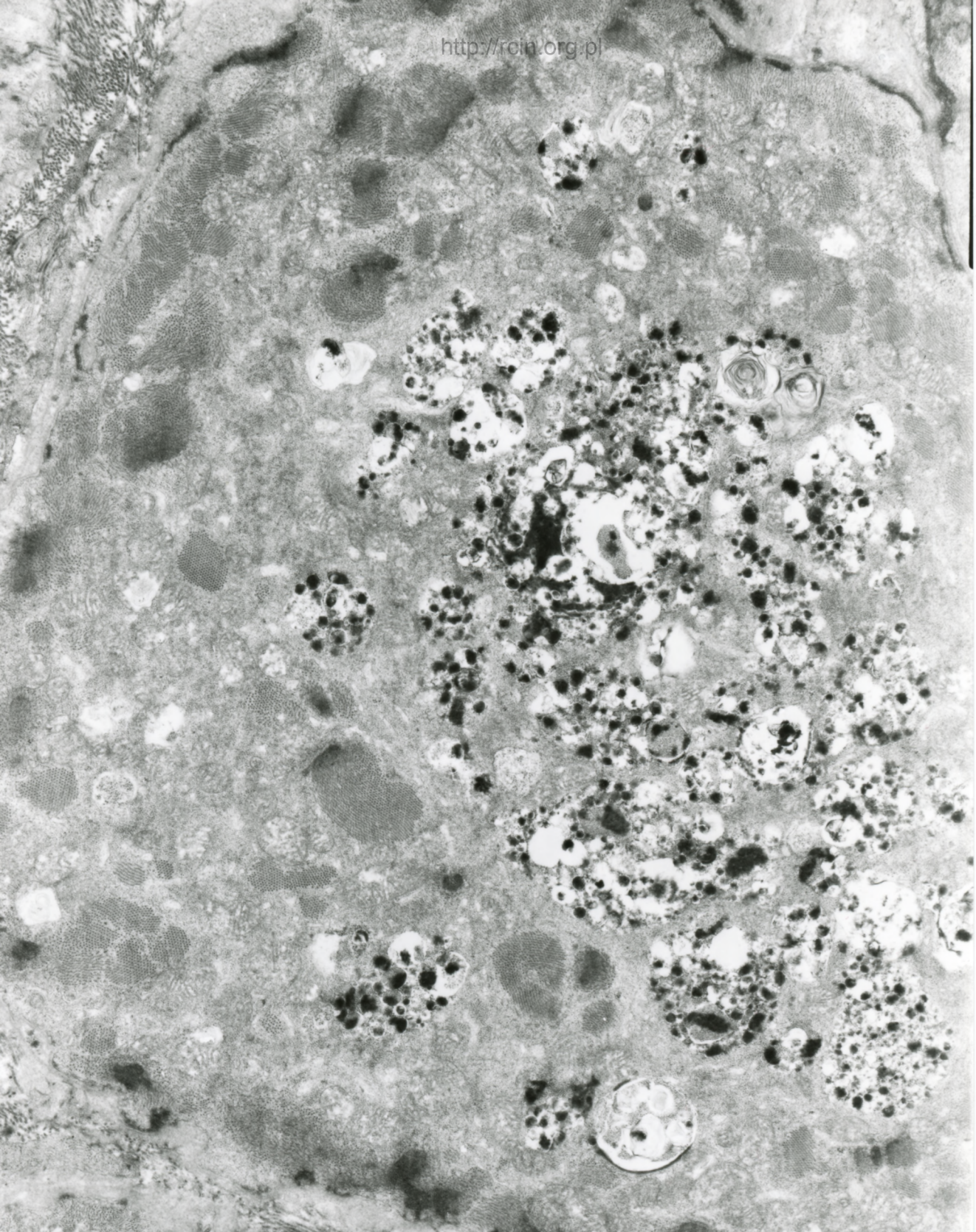


Fig.10



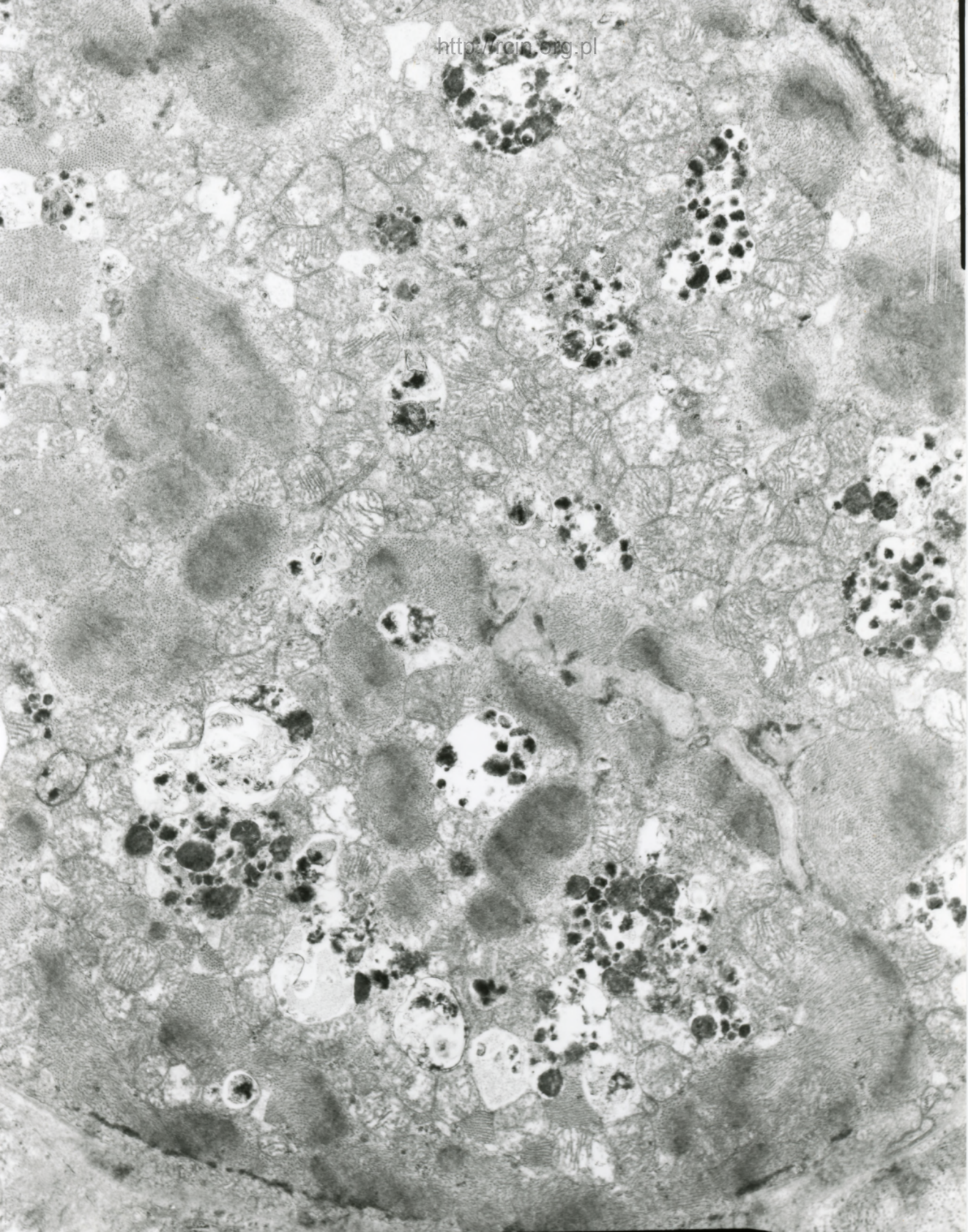
AF 28/06/PRZEDSIR
063574 80 0KV 812K 500nm

Fig. 11



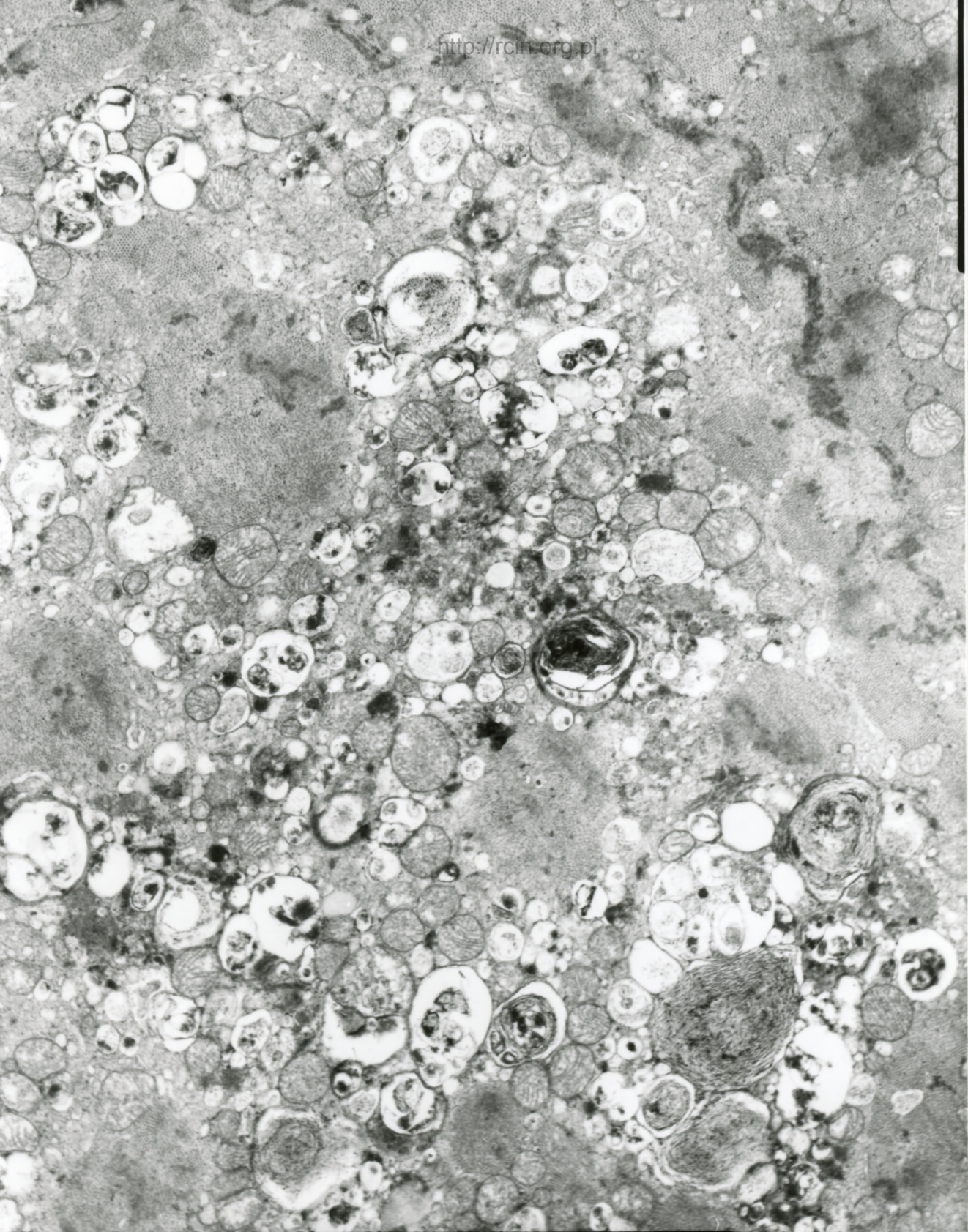
AF 28/06/
073059 80.0KV X4000 2µm

Fig.12



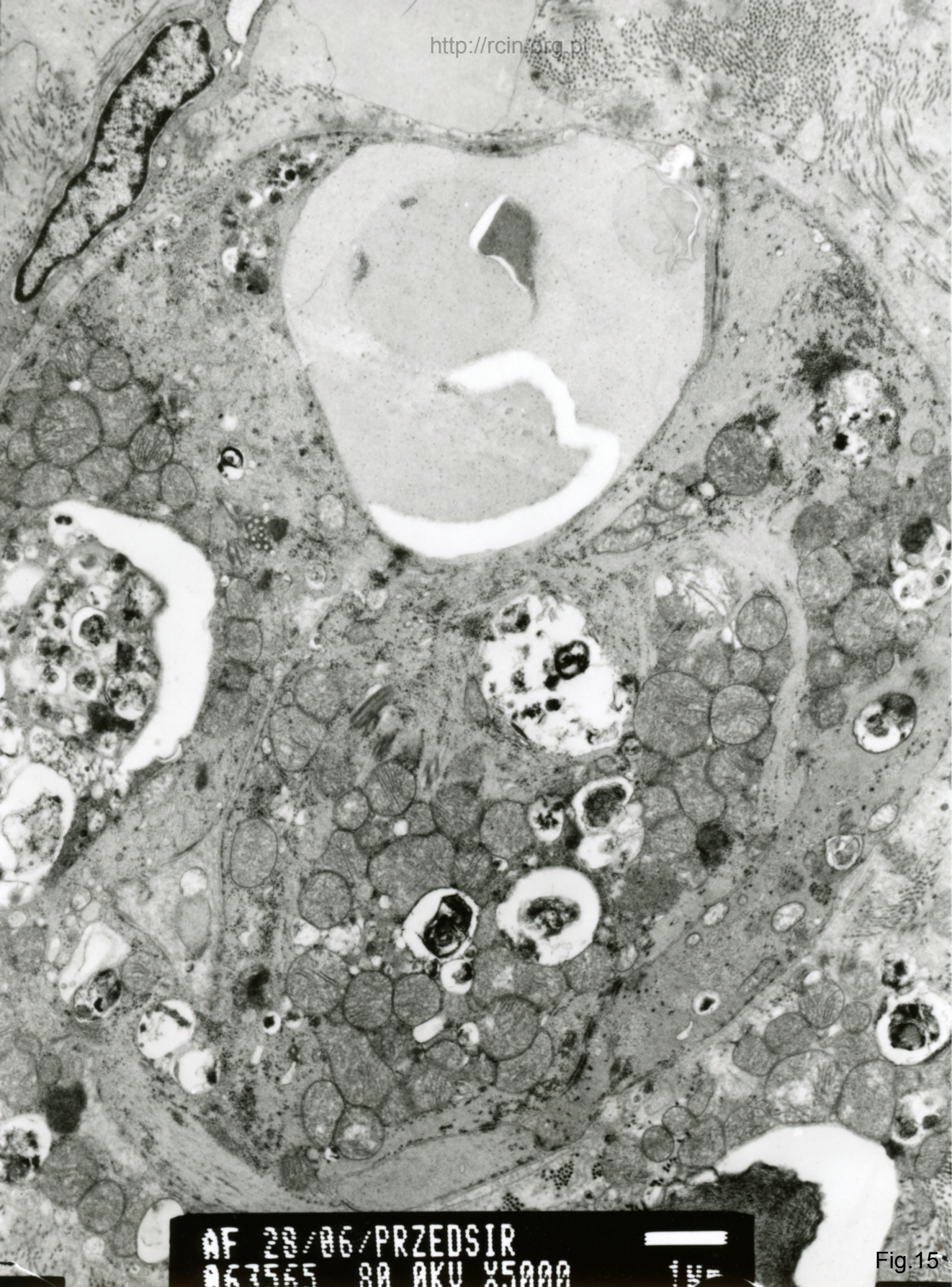
AF 28/06/SERCE
067457 88 0KV X5000

Fig.13



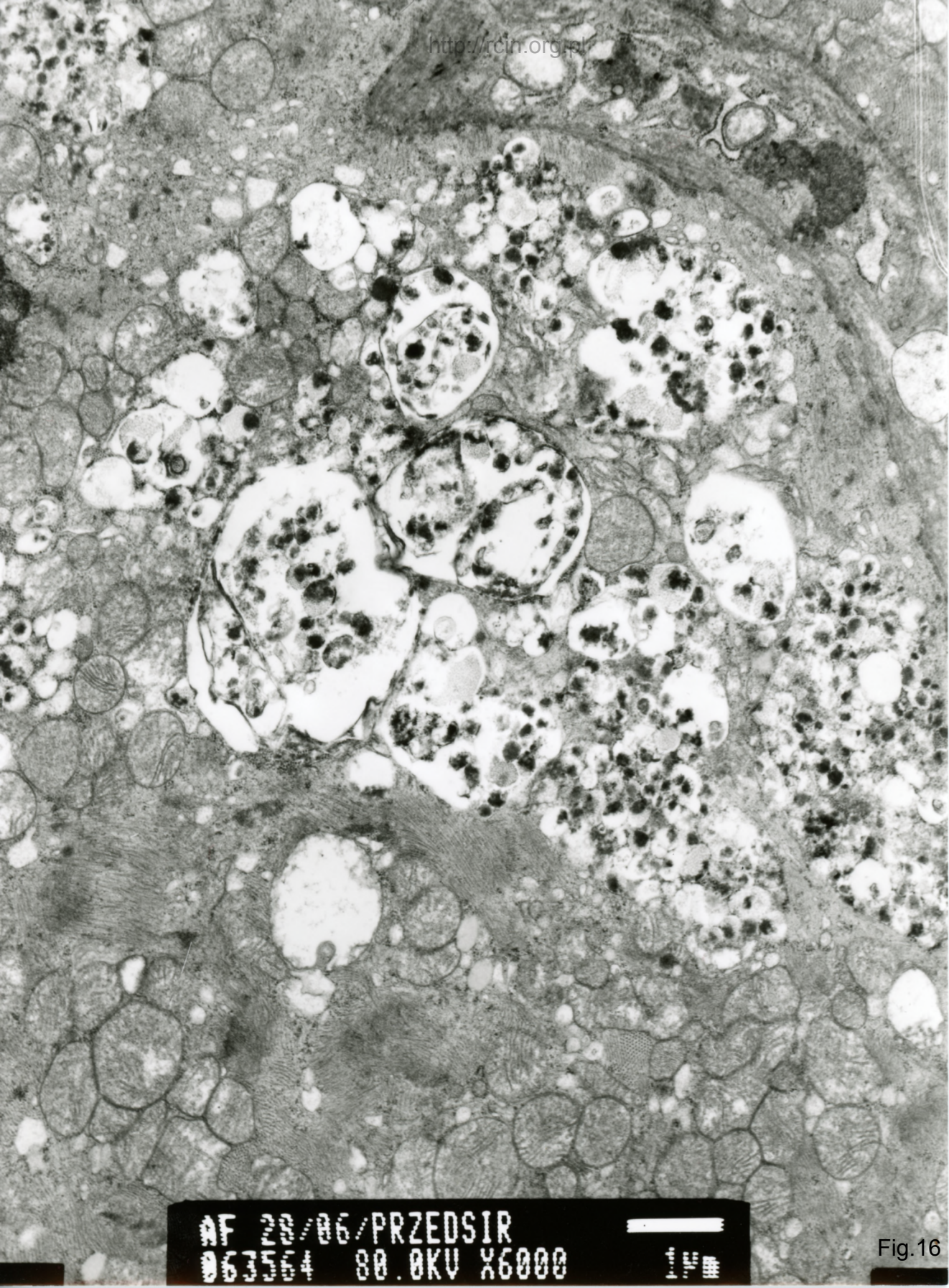
AF 28/06/SERCE
063451 80.0KV X5000

Fig.14



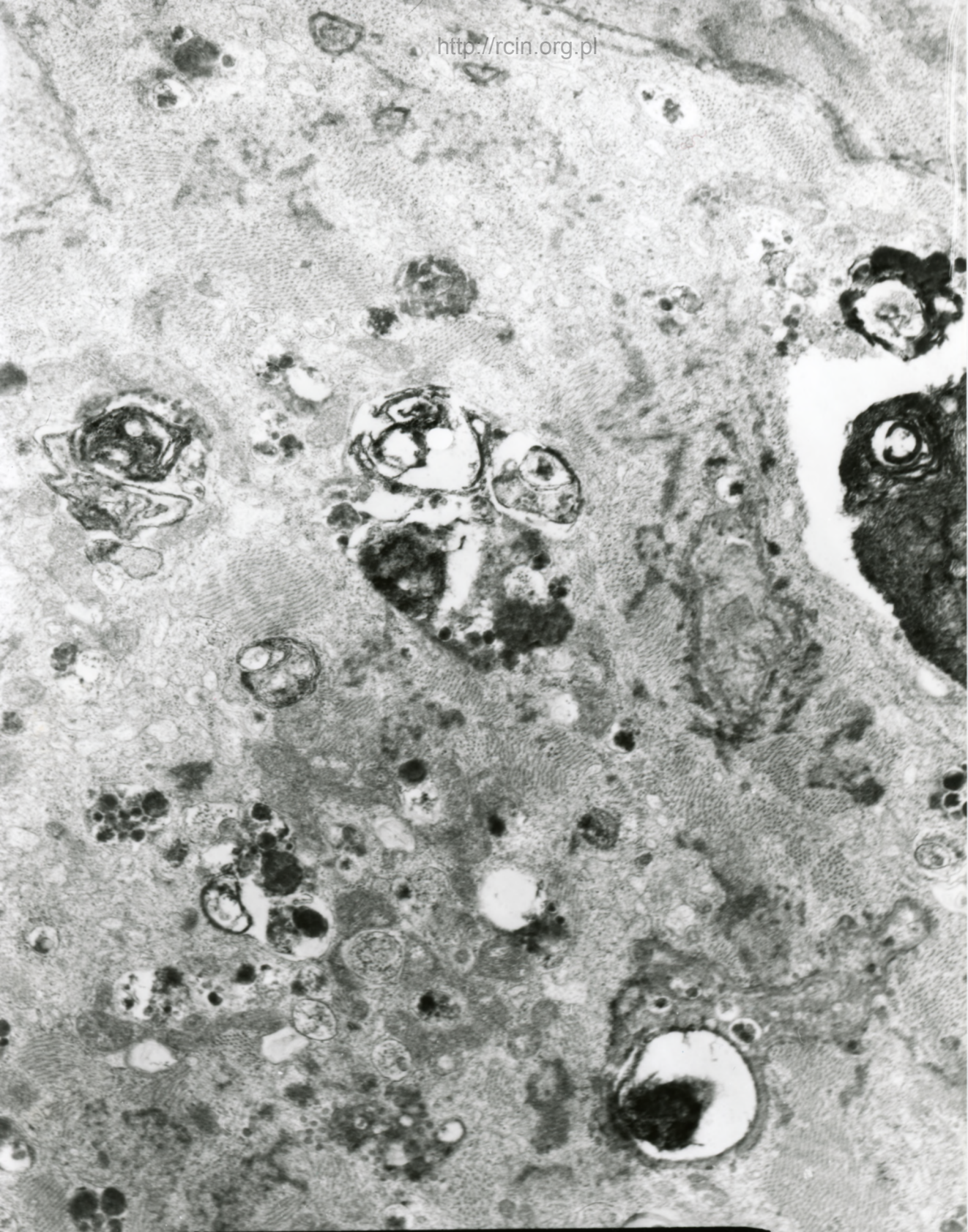
AF 20/06/PRZEDSIR
063555 80 AKU X5000

Fig.15

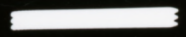


AF 20/06/PRZEDSIR
063564 80.0KV X6000

Fig.16

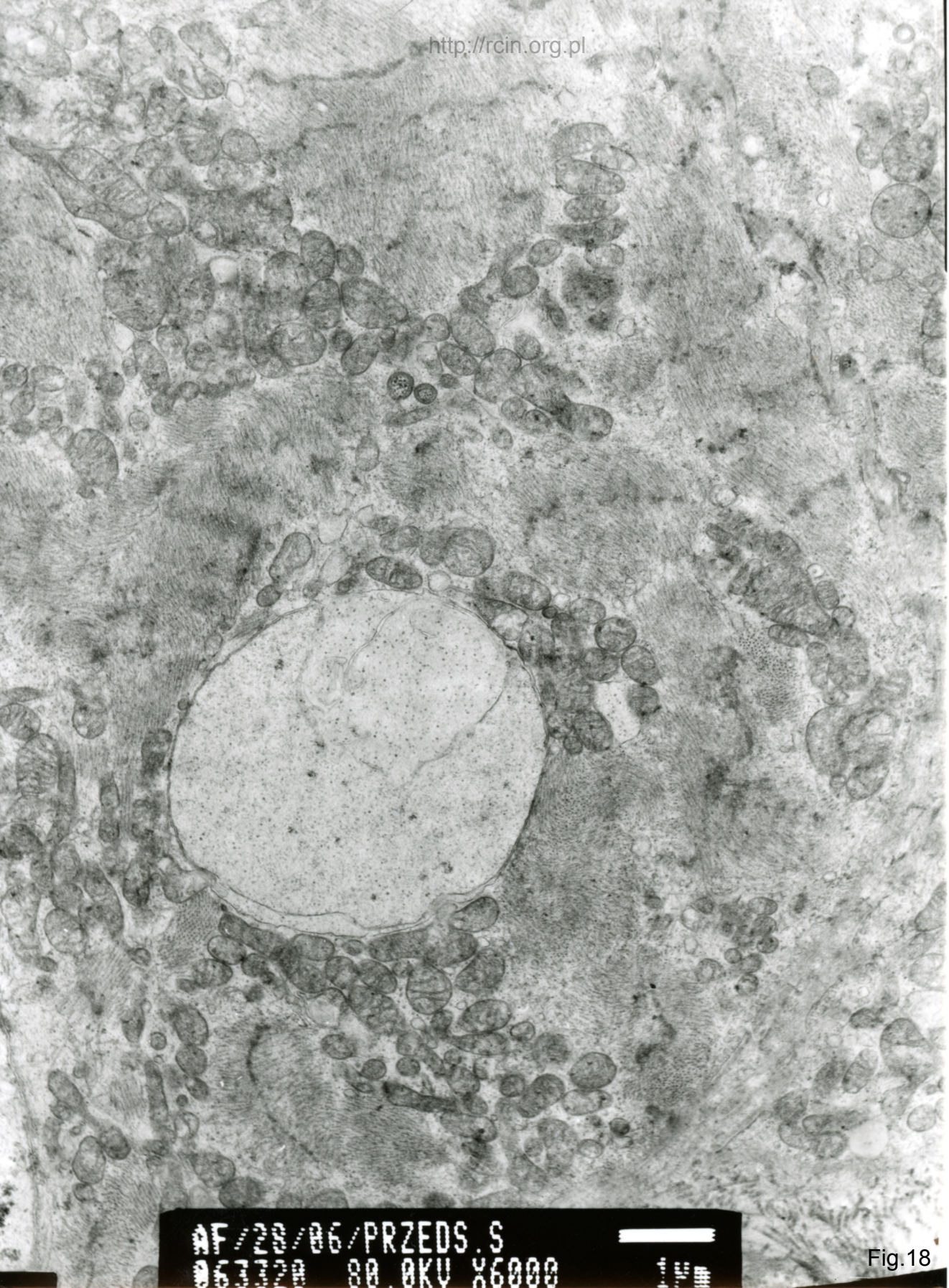


AF 28/06/SERCE
063460 80.0KV X7500



1µm

Fig.17



AF/28/06/PRZEDS.S
063320 80.0KV X6000

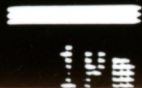
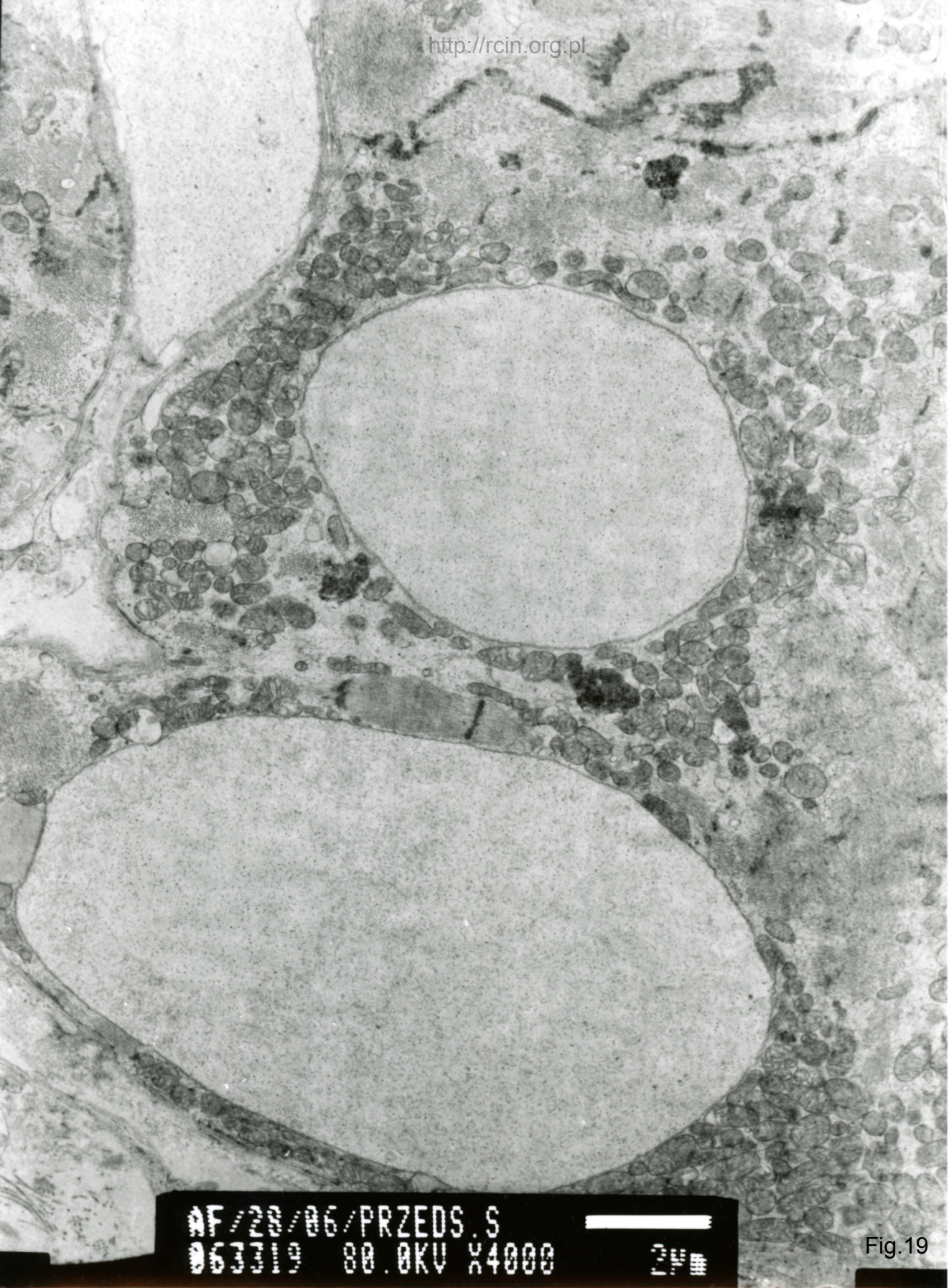


Fig.18



NF/28/06/PRZEDS.S
063319 80.0KV X4000

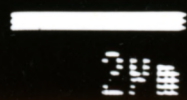
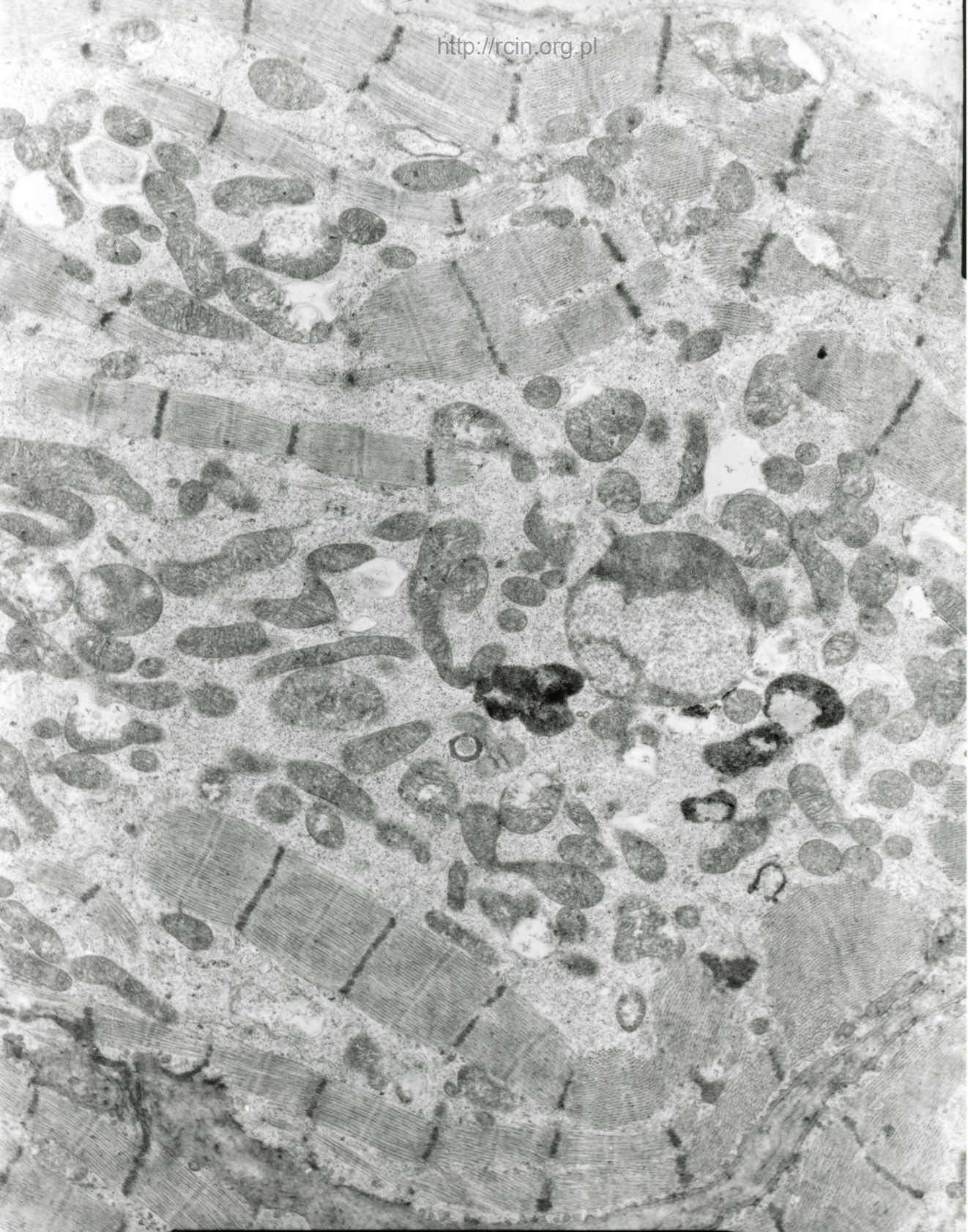
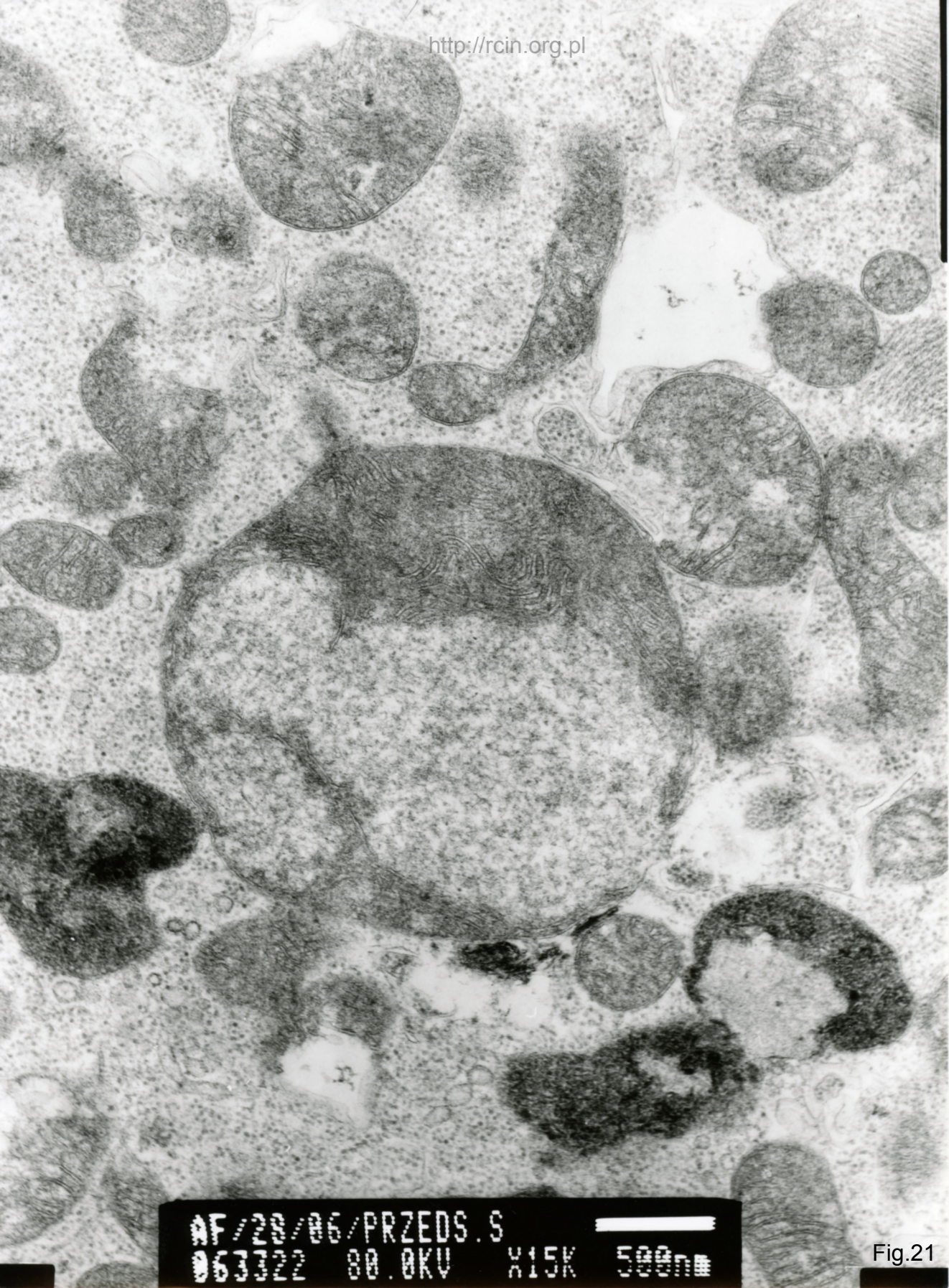


Fig.19



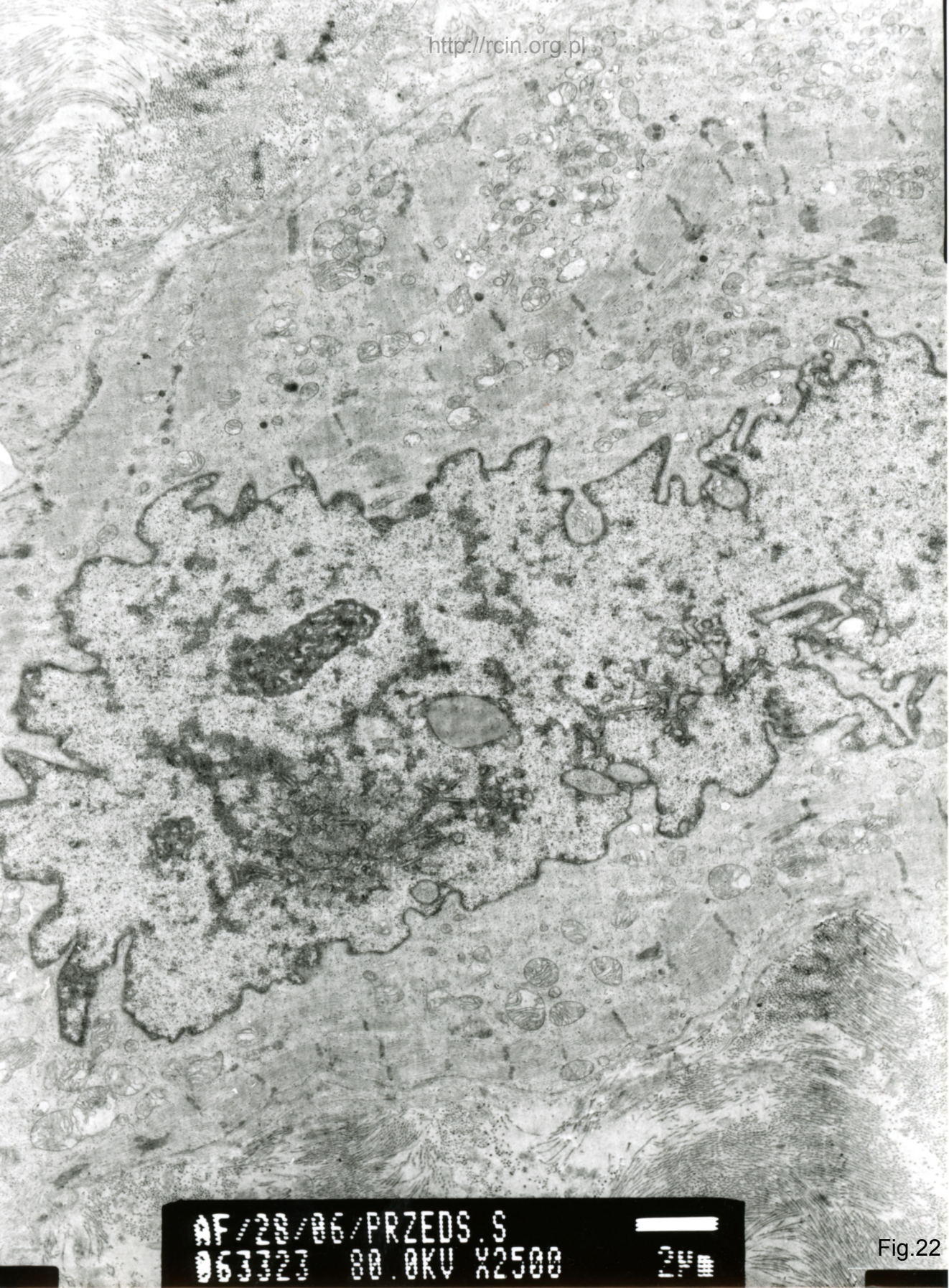
AF/28/06/PRZEDS.S
063321 80.0KV X5000 14

Fig.20



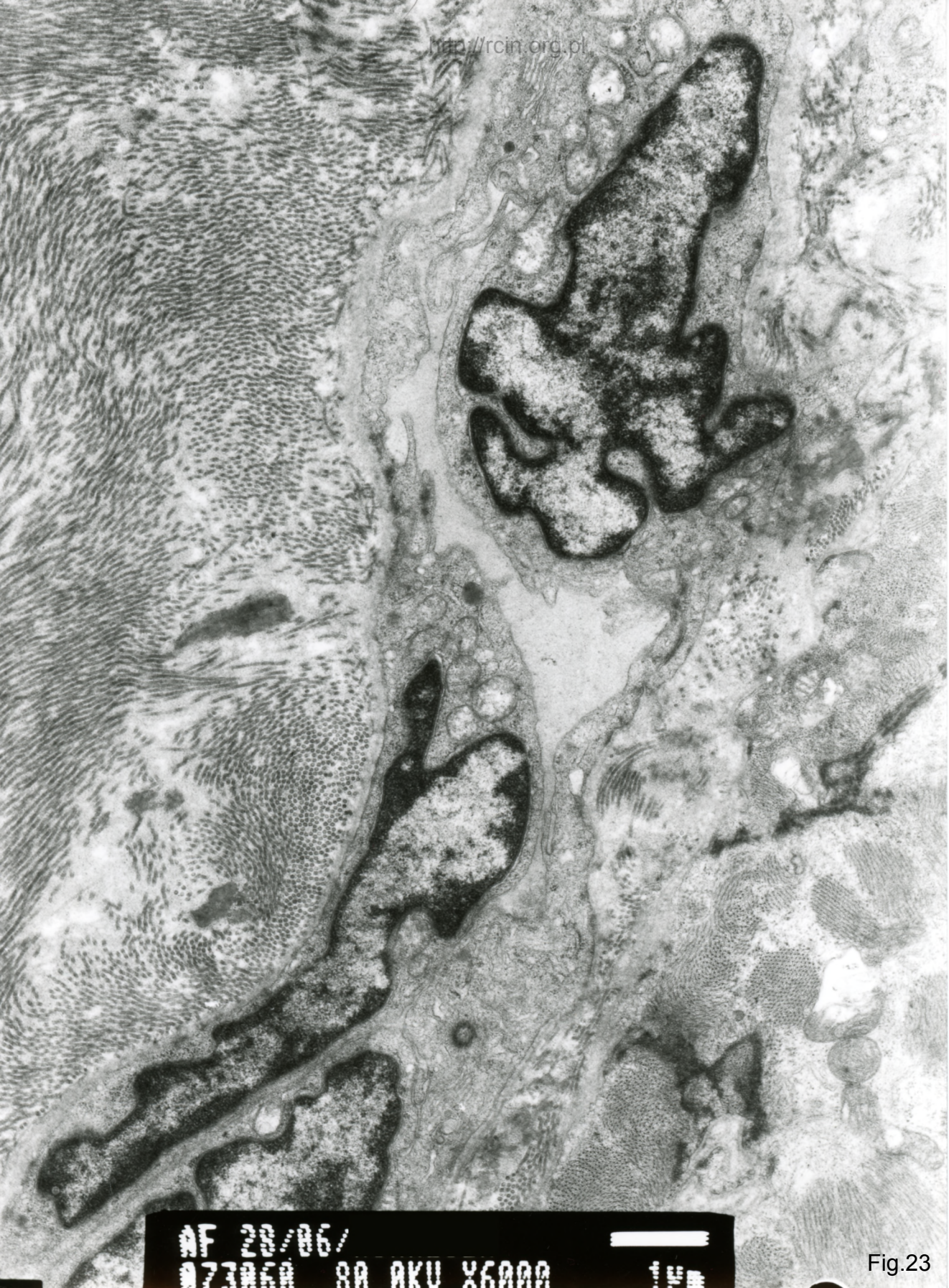
AF/28/06/PRZEDS.S
063322 80.0KV X15K 500nm

Fig.21



AF/28/86/PRZEDS.S
063323 80.0KV X2500 2µm

Fig.22



AF 28/06/
073850 8A AKU X6000

Fig.23

28/06 (patrz też 29/06)

Przedsiönek eksplantowanego serca

Ocena ultrastrukturalna wykazała zaburzenia w układzie sarkomerów i w przebiegu miofibryli, ich znaczną dezorganizację i zanik, a także znaczne uszkodzenia w obrębie mitochondriów. Jądra kardiomiocytów były nieprawidłowe, obserwowano zmiany w ich kształcie m.in. liczne wgłobienia w otocze jądrowej (Fig.1-4). Wiele jąder wykazywało także ubytki w błonie jądrowej, co wiązało się z penetracją organelli komórkowych do wnętrza jąder (Fig. 5-11). Obserwowano liczne ciemne elektronowo wakuole autofagalne (Fig. 12-17) oraz pojedyncze duże wakuole, wypełnione jasnym elektronowo materiałem (Fig. 18,19). Widoczne były nieliczne mitochondria olbrzymie, o nieprawidłowym przebiegu grzebieni (Fig. 20,21). W przestrzeni zewnątrzkomórkowej występowała obfita tkanka łączna (Fig. 22,23).

Atrium of the explanted heart

Electron microscopy evaluation revealed sarcomere aberrations as well as disorganization and atrophy of myofibrills. Damage within mitochondria were observed. Nuclei of cardiomyocytes were deformed, with changes in the shape including numerous indentations in the nuclear envelope (Figs.1-4). Many nuclei also showed breaks in the nuclear membrane, and penetration of cell organelles inside the nuclei was seen (Figs. 5-11). Numerous electron-dark autophagic vacuoles (Figs. 12-17) and single large vacuoles filled with electron-bright material were observed (Figs. 18,19). Few giant mitochondria with abnormal cristae arrangement were visible (Figs. 20,21). Abundant connective tissue was present in the extracellular space (Figs. 22,23).